

УДК 621.03

ЭЛЕКТРИЧЕСКИЕ РАСЧЕТЫ В ДЛИННЫХ ЛИНИЯХ ПРИ НЕСТАЦИОНАРНЫХ ДУГОВЫХ ПРОЦЕССАХ МЕТОДОМ ИНТЕГРАЛЬНЫХ ПРЕОБРАЗОВАНИЙ

ГАСАНОВ К.А.

Азербайджанский Технический Университет

Нестационарные дуговые процессы являются следствием часто встречающихся коротких замыканий при аварийных случаях в сетях 6-35 кВ. Обычно такие сети имеют относительно короткие участки и, поэтому, описываются интегродифференциальными уравнениями. Описания физических процессов интегродифференциальными уравнениями требует точного учета нулевых и краевых условий, которые зависят от факторов, связанных с режимами аварийных случаев.

Целью настоящей статьи является применение методов дискретных преобразований к такого рода многофункциональным задачам [1,2]. В этом отношении статья является методической новизной, где применяется дискретное и интегральное преобразования в переходном процессе короткого замыкания. Хотя процесс несложный, но повторение дуги и подзарядки линий электропередачи при каждом обрыве тока дуги сопровождаются сложными электромагнитными колебаниями. Суть методики интегральных преобразований и обобщенных функций выражается следующим образом. Пусть напряжения задается в виде постоянной или синусоидальной функции. При дуговом замыкании появляются функции высокочастотных составляющих коммутируемой цепи. При данной методике возможен учет как сосредоточенных, так и распределённых параметров цепи. В случае, когда напряжение или ток выражаются функцией заданной синусоидальной формы, учитывая структуру цепи, можно описать процесс для напряжения в следующем операторном виде:

$$U(p) = I(p) \cdot \frac{F(p)}{H(p)} \quad (1)$$

Оригинал от такой функции отыскивается поэтапно. Сначала по изображению $Z(p)$ вычисляется функция оригинала: - $Z(p) = \frac{F(p)}{H(p)} \Rightarrow z(t)$ в следующем рекуррентном виде:

$$z(t) \approx z[n] = \frac{f[n]}{Th[0]} - \sum_{m=0}^{n-1} \frac{z[n] \cdot h[n-m]}{h[0]} \quad (2)$$

Затем аналогично вычисляется функция тока $I(p) = E(p)/Q(p)$ и его оригинал:

$$i[n] = \frac{e[n]}{Tq[0]} - \sum_{m=0}^{n-1} \frac{i[n] \cdot q[n-m]}{q[0]} \quad (3)$$

После всего проводится расчет напряжения в следующем виде:

$$u[n] = T \sum_{m=0}^n i[n] \cdot z[n-m] \quad (4)$$

Составляющие функции $F(p)$, $E(p)$ изначально содержат все переменные условия цепи (начальные и краевые), связанные с аварийными коммутациями. Функция $H(p)$ зависит от предвключенной и нагрузочной цепи и, поэтому, называется характеристическим уравнением. Необходимо отметить, что по этой методике возможен учет усло-

вия зажигания и погасания дуги как по основной, так и по высокочастотной составляющим величин токов и напряжений [3,4]. Это является основным преимуществом данной методики.

В нашем случае для простоты иллюстрации метода расчетными параметрами схемы принимаются: индуктивность трансформатора, ёмкость проводов ЛЭП, а также подключенные в разные точки схемы активные сопротивления. На первом этапе значения активных сопротивлений принимаются постоянными, как в линейных схемах. Известные системы интегральных преобразований построены в предположении, что в операторном виде применяются для решения составленных уравнений функции с ограниченной показательной вариацией.

По расчетной схеме составляется система интегродифференциальных уравнений в операторном виде. В эти уравнения заранее вводятся начальные значения фазовых напряжений на емкостях и токи в индуктивностях. Эти значения учитываются в расчетах посредством моделирующих обобщенных $\delta(t)$ и $\delta'(t)$ функций при переходе к оригиналам. Начальные условия совпадают с моментами зажигания и погасания перемежающиеся дуги. По известным теориям в расчетах начальные значения фазовых токов принимаются равными нулю, так как ток дуги обрывается при переходе через нулевые значения.

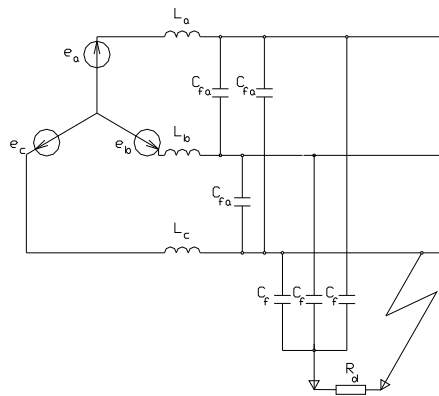


Рис.1 Расчетная схема однофазного короткого замыкания ЛЭП с изолированной нейтралью

Обращаясь к составлению уравнений цепи в области изображений, обычно переходят к операторной схеме замещения, которая является схемным отображением связей между изображениями напряжений и токов. В операторной схеме источники гладкой и перерывистой формы представляются как источники напряжения $U_+(p) = U_-(p)$ и тока $I_+(p) = I_-(p)$. Источники импульсов сохраняются в операторной схеме и представляются своими амплитудами в случае перехода в область оригинала по правилам обратного $-L$ преобразования. При применении преобразования $-L_+$ источники импульсов исключаются из операторных схем, поскольку $L_+[\delta(\tau)] = 0$.

Непосредственно после замыкания на землю фазы А емкость относительно земли неповрежденной фазы C_{f1} , заряженная до напряжения $u_c(t_1)$, соединяется параллельно с междуфазовой емкостью C_{mf1} , находящейся под напряжением $u_{ca}(t_1)$. Напряжения на двух параллельных емкостях мгновенно уравниваются и приобретают одинаковое значение $u_{нач}$, которое определяется из баланса зарядов следующим образом:

$$u_{нач} = \frac{C_f \cdot u_c(t_1) + C_{mf} [u_c(t_1) - u_a(t_1)]}{C_f + C_{mf}} = u_c(t_1) - k \cdot u_a(t_1) \quad (5)$$

$$\text{здесь, } k = C_{mf} / (C_f + C_{mf}) \quad (6)$$

Обычно $C_{mf}=(0.25\div 0.3)C_\phi$ и $\kappa=0.2\div 0.25$. Мгновенные значения напряжений $u_c(t_1)$ и $u_a(t_1)$ имеют разные знаки.

Полная система уравнений по расчетной схеме рис.1 приводится ниже:

$$\left. \begin{aligned} I_a(p) &= \left[pC^{ii} + \left(\frac{1}{R_d} + \frac{1}{R_a} \right) \right] \cdot U_a(p) - \frac{U_a(0)}{p} - pC_{mf}U_b(p) - pC_{mf}U_c(p) \\ I_b(p) &= -pC_{mf}U_a(p) + \left(pC^{ii} + \frac{1}{R_b} \right) \cdot U_b(p) - \frac{U_b(0)}{p} - pC_{mf}U_c(p) \\ I_c(p) &= -pC_{mf}U_a(p) - pC_{mf}U_b(p) + \left(pC^{ii} + \frac{1}{R_c} \right) \cdot U_c(p) - \frac{U_c(0)}{p} \\ U_a(p) &= E_m \left(\frac{p \sin \varphi_a + \omega \cos \varphi_a}{p^2 + \omega^2} \right) - U_n(p) + I_a(p) \cdot \frac{pL_a}{1 + R_a / pL_a} \\ U_b(p) &= E_m \left[\frac{p \sin(\varphi_a - 120 + \varphi_b) + \omega \cos(\varphi_a - 120 + \varphi_b)}{p^2 + \omega^2} \right] - U_n(p) + I_b(p) \cdot \frac{pL_b}{1 + R_b / pL_b} \\ U_c(p) &= E_m \left[\frac{p \sin(\varphi_a + 120 + \varphi_c) + \omega \cos(\varphi_a + 120 + \varphi_c)}{p^2 + \omega^2} \right] - U_n(p) + I_c(p) \cdot \frac{pL_c}{1 + R_c / pL_c} \\ I_0(p) &= \frac{U_a(p) + U_b(p) + U_c(p)}{3R_d} \end{aligned} \right\} (7)$$

Здесь, $C'' = C_\phi + C_{mf}$ – сумма фазовых и междуфазовых емкостей проводов и изоляции ЛЭП при возникновении дуги. В момент замыкания они соединяются последовательно. R_d – сопротивление земли на нейтраль рассматриваемой системы при возникновении дуги; R_a, R_b, R_c – активные сопротивления последовательных фазовых обмоток источника и трансформатора.

В области оригинала произведение двух операторных функций выражается в виде интеграла свертки [5]. По составленным операторным функциям (7) переход к оригиналу производится поэтапно. При этом используются свойства линейности преобразований Лапласа. Отыскание оригинала предложенным способом дает возможность провести анализ развития колебательных процессов при перемежающейся дуге между проводом одной фазы ЛЭП и землей.

Теперь обратимся к отысканию оригиналов по уравнениям (7). Линейность Лапласовых и интегральных преобразований остается в силе и в области оригинала. Для упрощения вычисления разделим правую и левую часть всех уравнений системы (7) на p . После, сгруппировав уравнения по токам и напряжениям фаз, получим следующие выражения:

- для токов,

$$\left. \begin{aligned} \frac{I_a(p)}{p} &= \left[C^{ii} + \frac{1}{p} \left(\frac{1}{R_d} + \frac{1}{R_a} \right) \right] \cdot U_a(p) - C_{mf} [U_b(p) + U_c(p)] - \frac{U_a(0)}{p^2} \\ \frac{I_b(p)}{p} &= -C_{mf} U_a(p) + \left(C^{ii} + \frac{1}{pR_b} \right) \cdot U_b(p) - C_{mf} \cdot U_c(p) - \frac{U_b(0)}{p^2} \\ \frac{I_c(p)}{p} &= -C_{mf} U_a(p) - C_{mf} U_b(p) + \left(C^{ii} + \frac{1}{pR_c} \right) \cdot U_c(p) - \frac{U_c(0)}{p^2} \\ \frac{I_0(p)}{p} &= \frac{U_a(p) + U_b(p) + U_c(p)}{3pR_d} \end{aligned} \right\} (8)$$

-при записи уравнений для напряжения принимается симметричный случай параметров источника, как заданная начальная фаза - φ_a и $\varphi_b = \varphi_c = 0$; $R_a = R_b = R_c = R$ и $L_a = L_b = L_c = L$

$$\left. \begin{aligned}
\frac{U_a(p)}{p} &= E_m \left[\frac{\sin \varphi_a}{p^2 + \omega^2} + \frac{\omega \cos \varphi_a}{p(p^2 + \omega^2)} \right] - \frac{U_n(p)}{p} + I_a(p) \cdot \frac{pL}{p + R/L} \\
\frac{U_b(p)}{p} &= E_m \left[\frac{\sin(\varphi_a - 120^\circ)}{p^2 + \omega^2} + \frac{\omega \cos(\varphi_a - 120^\circ)}{p(p^2 + \omega^2)} \right] - \frac{U_n(p)}{p} + I_b(p) \cdot \frac{pL}{p + R/L} \\
\frac{U_c(p)}{p} &= E_m \left[\frac{\sin(\varphi_a + 120^\circ)}{p^2 + \omega^2} + \frac{\omega \cos(\varphi_a + 120^\circ)}{p(p^2 + \omega^2)} \right] - \frac{U_n(p)}{p} + I_c(p) \cdot \frac{pL}{p + R/L} \\
U_n(p) &= U_a(p) + U_b(p) + U_c(p)
\end{aligned} \right\} \quad (9)$$

Как оговорено выше, в симметричном режиме до короткого замыкания начальное напряжение было принято равным нулю - $u_n(t_1)=0$. Как видно из уравнений (9), после короткого замыкания напряжение на нейтрали определяется простым суммированием мгновенных значений напряжений на каждой фазе.

Расчет начинается с подсчета напряжения и тока поврежденной фазы. Пусть дуга начинает гореть на фазе А в момент φ_a , близкий к 270° . Когда $u_a(t_1)=-U_\phi$; $u_c(t_1)=0.5U_\phi$; $u_{нач}=(0.5+k)U_\phi > u_c(t_1)$. В этот момент через место замыкания на землю будет проходить ток $3\omega C_\phi U_\phi$. В расчетах примем расчетный шаг, для чего можно исходить из постоянного времени, как L/R или $1/\sqrt{LC^{11}}$. Выбрав какой-нибудь из этих величин равной τ и разбивая ее на n частей, получаем расчетный шаг $T=\tau/n$. Далее, проводим расчет интегрирования с шагом T . Значения напряжения на фазе А в любое время будет меняться как:

$$\begin{aligned}
\int_0^t 1(t-\tau) u_a(t) d\tau &= E_m [\sin \varphi_a \sin \omega t + \cos \varphi_a (1 - \cos \omega t)] - \int_0^t 1(t-\tau) u(t) dt + \\
+ L \int_0^t i_a(t) \cdot [\exp(-(t-\tau)R/L)]' dt & \quad (10)
\end{aligned}$$

В зависимости от дискретных n и параметров, приведенных к относительным величинам напряжения на фазе А, при $\varphi_a=270^\circ$ и $\cos \varphi_a=0$, $\sin \varphi_a=-1$, $\omega=1$, $E_m=1$, $R_* = R/\sqrt{L/C''}$

и $L_* = \omega L/\sqrt{L/C''}$ будет определяться следующим образом:

$$u_a[n] = -(\sin t) - T \sum_{m=0}^n u_n[n] - TR_* \sum_{m=0}^n i_a[n] \cdot \exp[-(R_*/L_*)(n-m)] - \sum_{m=0}^{n-1} u_a[n] \quad (11)$$

В формуле (11) правая часть содержит значение неизвестного тока на фазе А. Поэтому для расчета $i_a[n]$ обращаются к первому выражению системы уравнений (8). Но для определения $i_a[n]$ сначала вычисляют $u_c[n]$ и $u_b[n]$. При отыскании оригинала по методу теоремы вычетов получают: $u_c[n]=u_{ca}[n]-u_a(t_1) \cdot (1-k) \cdot e^{-(nT)R/L} \cdot \cos(nT/\sqrt{LC''})$; $u_b[n]=u_{ба}[n]-u_a(t_1) \cdot (1-k) \cdot e^{-(nT)R/L} \cdot \cos(nT/\sqrt{LC''})$. Но в данном случае вычисления производятся по вторым и третьим выражениям системы уравнений (8) и (9). Полученные кривые напряжения от nT иллюстрируются на рис.2.

ЗАКЛЮЧЕНИЕ

Как видно из кривых напряжения и тока, напряжение на здоровой фазе $u_{смах}$ достигает $3.4 \cdot E_m$. Представленная методика даёт возможность провести расчеты с учетом внезапного изменения параметров цепи, в частности, сопротивления R_d при перемежающейся дуге. Расчеты проводятся численным методом, но при этом наглядно прослеживаются влияния параметров на короткое замыкание и развитие процесса электромагнитных колебаний.

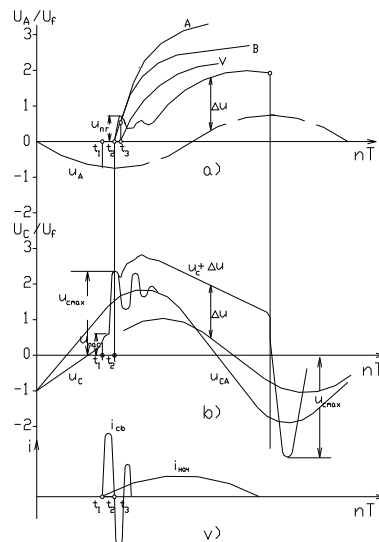


Рис.2. Напряжения переходного процесса при дуговом КЗ в ЛЭП с изолированной нейтралью : а – напряжения фазы А; б – напряжения фазы С; в – ток в месте к.з.

1. В.В. Базуткин, В.П. Ларионов, Ю.С. Пинталь. Техника высоких напряжений Изоляция и перенапряжения в электрических системах М. Электроатомиздат 1987 г.
2. А.С. Розенфельд, Б.И. Яхинсон. Переходные процессы и обобщенные функции Изд. Наука Ф-М литер. М. 1966 г.
3. К. А. Гасанов. Расчеты перенапряжений в цикле АПВ с помощью Z-преобразования М. МЭИ 1978 г.
4. Э. Джурри. Импульсные системы автоматического регулирования Гос. Изд. Ф.М. литературы М. 1963 г.
5. Ч.М. Джуварлы. К теории перенапряжений от заземляющих дуг в сети с изолированной нейтралью. Электричество, № 6, 1953 г.

UZUN XƏTTLƏRDƏ QEYRİ STASİONAR QÖVS PROSESLƏRİNİN İNTEQRAL ÇEVİRMƏLƏR METODU İLƏ ELEKTRİK HESABATLSRI

HƏSƏNOV Q.Ə.

6-35 kV şəbəkələrdə baş verən qısaqapanmalar çox hallarda qeyri stasionar yanan-sönən qövs proseslərinə səbəb olur. Adətən belə şəbəkələr qısa məsafələri əhatə etdiyindən bu proseslər inteqro-diferensial tənliklərlə ifadə edilir. İnteqro-diferensial tənliklərin həlli isə, qısaqapanma və dəyişən qövs halları üçün başlangıç və sərhəd şərtlərinin dəqiq nəzərə alınmasını tələb edir.

ELECTRIC CALCULATIONS IN LONG LINES AT NON-STATIONARY ARC PROCESSES BY THE METHOD OF INTEGRATED CONVERSIONS

HASANOV Q.A.

In article one of the most widespread cases of failure - single-phase short circuit in 10-35 kV networks with isolated neutral is considered. The calculation algorithms based on discrete conversions and integrated equations are developed.